

Entrée et sortie: Système Offset Reflective ORS18a pour la teinte CIELAB relative $h_{ab,a,rel} = h_{ab}/360 = 189/360 = 0.52$

$H^*_e = G25B_e$

Données de couleurs périphériques (d)

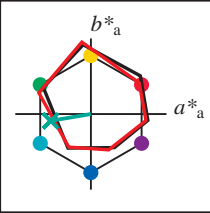
ou élémentaires (e):

HIC^*_e

code de teinte pour les couleurs de cette page:

$H^*_e = G25B_e$

triangle de luminosité T^*



ORS20a; données CIELAB (a) adaptées

| nom | $L^*=L^*_a$ | a^*_a | b^*_a | $C^*_{ab,a}$ | $h^*_{ab,a}$ |
|---------------------|-------------|---------|---------|--------------|--------------|
| R _{e, Ma} | 47.6 | 64.9 | 30.9 | 71.9 | 25 |
| Y _{e, Ma} | 82.9 | -3.5 | 87.8 | 87.9 | 92 |
| G _{e, Ma} | 52.4 | -67.1 | 21.5 | 70.5 | 162 |
| C _{e, Ma} | 56.6 | -39.7 | -29.9 | 49.8 | 216 |
| B _{e, Ma} | 37.9 | 1.3 | -45.4 | 45.4 | 271 |
| M _{e, Ma} | 34.8 | 49.2 | -30.0 | 57.7 | 328 |
| N _{e, Ma} | 17.7 | 0.0 | 0.0 | 0.0 | 0 |
| W _{e, Ma} | 95.4 | 0.0 | 0.0 | 0.0 | 0 |
| R _{e, CIE} | 39.9 | 58.7 | 27.9 | 65.0 | 25 |
| Y _{e, CIE} | 81.2 | -2.8 | 71.5 | 71.6 | 92 |
| G _{e, CIE} | 52.2 | -42.4 | 13.6 | 44.5 | 162 |
| B _{e, CIE} | 30.5 | 1.4 | -46.4 | 46.4 | 271 |

Les données de couleur maximale (Ma):

$LabCh^*_{e, Ma}: 54 -53 -9 53 189$

$HIC^*_{e, Ma}: G25B_100_100_e$

$rgbic^*_{e, Ma}$:

0.0 1.0 0.46 1.0 1.0

triangle de luminosité T^*

% Gamme
 $u^*_{rel} = 92$
 % Régularité
 $g^*_{H, rel} = 57$
 $g^*_{C, rel} = 58$

ORS20a; données CIELAB (a) adaptées

| H^*_e | $L^*=L^*_a$ | a^*_a | b^*_a | $C^*_{ab,a}$ | $h^*_{ab,a}$ |
|---------------------------|-------------|---------|---------|--------------|--------------|
| R00Y_100_100 _e | 47.6 | 64.9 | 30.9 | 71.9 | 25 |
| R25Y_100_100 _e | 51.5 | 54.2 | 47.2 | 71.9 | 41 |
| R50Y_100_100 _e | 60.3 | 35.6 | 59.0 | 68.9 | 58 |
| R75Y_100_100 _e | 70.4 | 17.0 | 72.2 | 74.1 | 76 |
| Y00G_100_100 _e | 82.9 | -3.5 | 87.8 | 87.9 | 92 |
| Y25G_100_100 _e | 76.9 | -25.5 | 75.9 | 80.1 | 108 |
| Y50G_100_100 _e | 65.8 | -41.4 | 54.4 | 68.3 | 127 |
| Y75G_100_100 _e | 56.9 | -56.3 | 38.1 | 68.0 | 145 |
| G00B_100_100 _e | 52.4 | -67.1 | 21.5 | 70.5 | 162 |
| G25B_100_100 _e | 54.6 | -53.2 | -9.0 | 53.9 | 189 |
| G50B_100_100 _e | 56.6 | -39.7 | -29.9 | 49.8 | 216 |
| G75B_100_100 _e | 52.7 | -21.1 | -44.1 | 48.9 | 244 |
| B00R_100_100 _e | 37.9 | 1.3 | -45.4 | 45.4 | 271 |
| B25R_100_100 _e | 26.7 | 26.6 | -45.8 | 52.9 | 300 |
| B50R_100_100 _e | 34.8 | 49.2 | -30.0 | 57.7 | 328 |
| B75R_100_100 _e | 47.3 | 71.5 | -9.9 | 72.1 | 352 |

